

## DAFTAR PUSTAKA

- [USGS] United State Geological Survey (US). 2013. Landsat 8 [internet]. [diunduh Juni 2017]. Tersedia pada <http://landsat.usgs.gov/landsat8.php>.
- Afriana, C, V. 2013. Analisis Perubahan Kerapatan Vegetasi Kota Semarang Menggunakan Bantuan Teknologi Penginderaan Jauh. Skripsi. Semarang: Jurusan Geografi Fakultas Ilmu Sosial Universitas Negeri Semarang.
- Afriana, C. V., Parman, S., & Sanjoto, T. B. (2013). Analisis Perubahan Kerapatan Vegetasi Kota Semarang Menggunakan Aplikasi Penginderaan Jauh. *Jurnal Geo Image ( Spatial-Ecological-Regional )*, 2(1), 1–7.
- Aisyah, P, Andi.N.I, Nirwati, Khairil.S. 2021. Identifikasi potensi nilai ekonomi hasil hutan bukan kayu di upt kph bulusaraung: Studi Kasus Resort Kabupaten Pangkep. *Jurnal Ebuni*, Vol.3, No. 2
- Alrasjid H; D.Natawiria dan A.Ng. Gintings. 1983. Pembinaan Hutan P.merkusi Merkusi Khususnya P.merkusi Merkusi merkusii Untuk Penghara Industri. Pusat Litbang Hasil Hutan dan Perum Perhutani 27-28 Juli 1983. Simpo P.merkusi Merkusi'83 Proceeding. Jakarta.
- Ayu I, Syahnie P.1, Harum K.K, Riki R, Lili.S.2022. Analisis Kerapatan Vegetasi Untuk Perencanaan Wilayah Di Desa Cihideung Kabupaten Bandung Barat Menggunakan Citra Sentinel-2a Dengan Metode Msarvi. *Jurnal Planologi* Vol. 19, No. 2
- Azhari, M. (2019). Analisis Manfaat Tanaman Terhadap Kondisi Lingkungan diJalan Utama Kota Palangka Raya. *Media Ilmiah Teknik Lingkungan*, 4(1),10–15
- Baatz, M. and Schape, A. (2000) Multiresolution Segmentation: An Optimization Approach for High Quality Multi-Scale Image Segmentation. In: Strobl, J., Blaschke, T. and Griesbner, G., Eds., *Angewandte Geographische Informations-Verarbeitung*, XII, Wichmann Verlag, Karlsruhe, Germany, 12-23.
- Danoedoro, Projo. 2012. Penginderaan Jauh Digital. Yogyakarta: Fakultas Geografi Universitas Gadjah Mada
- Dasuka, Y. P., Sasmito, B., & Haniah, H. (2016). Analisis sebaran jenis vegetasi hutan alami menggunakan sistem penginderaan jauh (Studi Kasus: Jalur Pendakian Wekas dan Selo). *Jurnal Geodesi Undip*, 5(2), 1-8.
- Dharmawan WE, Suyarso, Ulumuddin YI, Prayudha B, Pramudji. 2020. Panduan monitoring struktur komunitas mangrove di Indonesia. PT Media Sains Nasional: Bogor
- ESA (European Space Agency). 2015. Sentinel-2 User Handbook. Europe: European Space Agency. 1.Firmansyah, S., J. Gaol, dan S.

- Fibriani.C, Valentino K.S , Sri Yulianto J.P , 2019. Analisis Perbedaan Indeks Vegetasi Normalized Difference Vegetation Index (NDVI) dan Normalized Burn Ratio (NBR) Kabupaten Pelalawan Menggunakan Citra Satelit Landsat 8. *Indonesian Journal of Modeling and Computing* 1-7.
- Hardianto, A., Dewi, P. U., Feriansyah, T., Sari, N. F. S., & Rifiana, N. S. (2021).Pemanfaatan Citra Landsat 8 Dalam Mengidentifikasi Nilai IndeksKerapatan Vegetasi (NDVI) Tahun 2013 dan 2019 (Area Studi: Kota BandarLampung). *Jurnal Geosains Dan Remote Sensing*, 2(1), 8–15.
- Huete, A. R. 1988. A Soil-Adjusted Vegetation Index (SAVI). *Remote Sensing of Environment*. 25(3):295–309.
- Huete, A. R., H. Q. Liu, K. Batchily, dan W. V. Leewen. 1997. A Comparison Of Vegetation Indices Over A Global Set Of TM Images For Eos-Modis. *Remote Sensing of Environment*. 59(1):440–451.
- Huete, A., K. Didan, T. Miura, E. P. Rodriguez, X. Gao, dan L. G. Ferreira. 2002. Overview Of The Radiometric And Biophysical Performance Of The Modis Vegetation Indices. *Remote Sensing of Environment*. 83:195–213.
- IUCN (International Union for Conservation of Nature and Natural Resources). 2006. The IUCN Red List of Threatened Species. <http://www.iucnredlist.org>
- Jaya, INS. 2014. Analisis Citra Digital. Bogor: IPB Press.
- Jensen, J. R. 2007. *Remote Sensing of The Environment: An Earth Resource Perspective*. Prentice Hall: Upper Saddle River, N.J
- Jensen, J. R. 2007. *Remote Sensing of The Environment: An Earth Resource Perspective*. Prentice Hall: Upper Saddle River, N.J
- Jumin, H.B., 2002. Agroekologi, Suatu Pendekatan Fisiologis. Jakarta: Rajawali pers
- Jurgensen C, Kollert W dan Lebedys A. 2014. Assessment of Industrial Roundwood Production from Planted Forests. Rome: FAO.
- Kalima T, U. Sutisna dan R. Harahap, 2005. Studi sebaran alam Pinus Merkusi merkusii Jungh et de Vriese Tapanuli, Sumatera Utara dengan metode cluster dan pemetaan digital. *Jurnal Penelitian Hutan dan Konservasi Alam*, 2 (5) Tahun 2005 (497-505). Bogor: Pusat Litbang Hutan dan Konservasi Alam.
- Kleipool Q, Ludewig A, Babić L, Bartstra R, Braak R. 2018. Pre-Launch Calibration Results of The Tropomi Payload on-Board the Sentinel-5 Precursor Satellite. *Atmospheric Measurement Techniques*. 11(12): 6439–6479.
- Klompmaker, J. O., Hoek, G., Bloemsma, L. D., Gehring, U., Strak, M., Wijga, A. H., & Janssen, N. A. (2018). Green space definition affects associations of green space with overweight and physical activity. *Environmental research*, 160, 531-540.

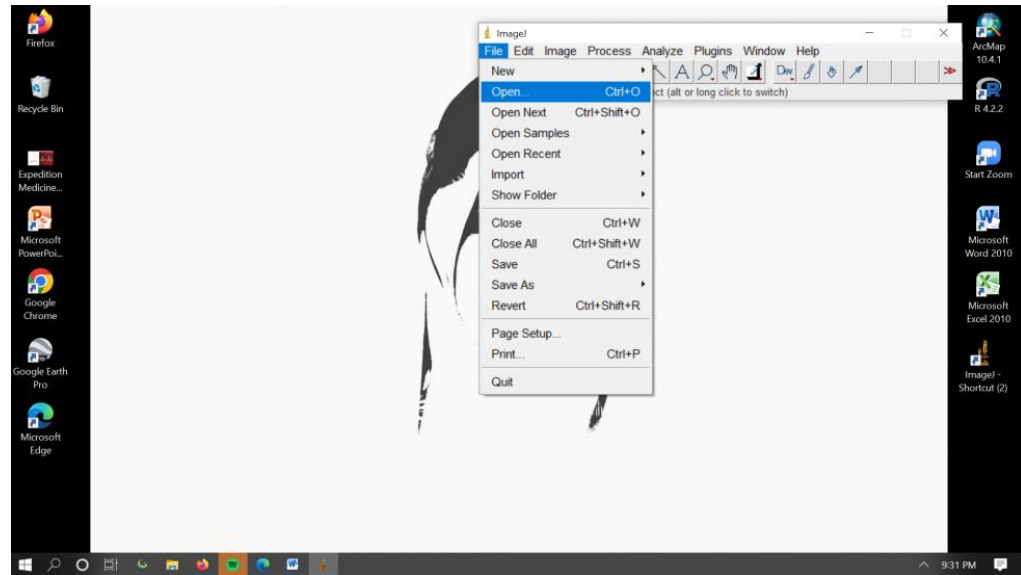
- Lapan. 2014. Penyusunan Pedoman Pengolahan Digital Klasifikasi Penutup Lahan Menggunakan Penginderaan Jauh. Jakarta: Pusat Pemanfaatan Penginderaan Jauh Lembaga Penerbangan Dan Antariksa Nasional.
- Larasati, B. (2017). Pengaturan Hasil Multiproduk Hutan Tanaman Pinus Dan Kontribusinya Terhadap Masyarakat Desa Hutan. Program Pasca Sarjana Fakultas Kehutanan. Universitas Gadjah Mada. Tesis.
- Lillesand & Kiefer. 1997. Penginderaan Jauh dan Interpretasi Citra. Yogyakarta. UGM Press.
- Lillesand TM, Kiefer RW, Jonathan W. Chipman. 2015. Remote Sensing and Image Interpretation 7TH edition. John Wiley & Sons, Inc.
- Maridi, Saputra, A., & Agustina, P. (2015). Analisis Struktur Vegetasi di Kecamatan Ampel Kabupaten Boyolali. Jurnal Pendidikan Biologi, 8(1), 28–42.
- Marsono, 1977. Diskripsi Vegetasi dan Tipe-tipe Vegetasi Tropika. Fakultas Kehutanan UGM. Yogyakarta\
- Martono, D. S. (2009). Kontribusi Pendapatan dari Penyadapan Getah Pinus Terhadap Pendapatan Totalnya : Studi Kasus di RPH Guyangan BKPH Ponorogo Barat KPH Lawu Ds Perum Perhutani Unit II Jawa Timur. AgriTek, 10(2), 74–79.
- Nawir, A. A., Murniati, & Rumboko, L. (Eds.). (2008). Rehabilitasi Hutan di Indonesia : Akan Kemanakah Arahnya Setelah Lebih dari Tiga Dasawarsa? Bogor, Indonesia: Center for International Forestry Research (CIFOR)
- Nurmalasari I dan Santosa SHMB. 2018. Pemanfaatan Citra Sentinel-2A untuk Estimasi Produksi Pucuk Teh di Sebagian Kabupaten Karanganyar. Jurnal Bumi Indonesia. 7(1): 1-11.
- Pettorelli, N., Vik, J.O., Mysterud, A., Gaillard, J.M., Tucker, C.J., & Stenseth, N.C. (2005). Menggunakan NDVI untuk menilai bagaimana komposisi bentang alam sabana berhubungan dengan distribusi spasial spesies herbivora Afrika. Jurnal Ekologi Terapan, 42(4), 707-719.
- Pradhana, A. (2012). Pendugaan Biomassa Tegakan Pinus Merkusi Menggunakan Backscatter ALOS PALSAR, Umur, dan Tinggi Tegakan: Kasus di KPH Banyumas Barat, Jawa Tengah.
- Prahasta E. 2008. Remote Sensing. Bandung (ID): Informatika
- Pratama, A, Asryadi 2018. *Proyeksi Perubahan Penggunaan Lahan Daerah Aliran Sungai Balease*. Skripsi Universitas Hasanuddin: Makassar
- Purwadhi F.S.H dan T. B.Sanjoto, 2009. Pengantar Interpretasi Citra Penginderaan Jauh. Pusat Data Penginderaan Jauh Lembaga Penerbangan dan Antariksa Nasional dan Jurusan Geografi Universitas Semarang. Semarang..
- Purwadhi, S. H. dan T. B. Sanjoto. 2008. Pengantar Interpretasi Citra Penginderaan Jauh. Edisi Pengantar. Jakarta: LAPAN dan UNNES.
- Rifai, M. A. (2004). Kamus Biologi. Balai Pustaka: Jakarta

- Rijal, S. S. 2020. Mengolah Citra Penginderaan Jauh Dengan Google Earth Engine. Yogyakarta: Deepublish.
- Riko, Y., A. I. Meha, dan S. Y. J. Prasetyo. 2019. Perubahan Konversi Lahan Menggunakan NDVI, EVI, SAVI dan PCA Pada Citra Landsat 8 (Studi Kasus : Kota Salatiga). *Indonesian Journal of Computing and Modeling*. 1:25– 30
- Riska, A. (2011). Pendugaan Biomassa Atas Permukaan Pada Tegakan P.merkusi (P.merkusi Merkussi Jungh Et De Vriese) Menggunakan Citra Alos Palsar Resolusi Spasial 50 M Dan 12,5 M (Studi Kasus Di KPH Banyumas Barat). *Manajemen Hutan, Sarjana*, 51.
- Sahid. (2010). Penaksiran Volume Pohon P.merkusi Merkusii Melalui Foto Udara (Studi Kasus: BPKH Majenang, KPH Banyumas Barat). *Jurnal Ilmu kehutanan*. Volume IV No 1.
- Sallata, M. K. (2013). P.merkusi (P.merkusi merkusii Jungh Et De Vriese) dan Keberadaannya di Kabupaten Tana Toraja, Sulawesi Selatan. *Info Teknis EBONI*, 10(2), 85–98.
- Simamora, F. B., B. Sasmito, dan Hani'ah. 2015. Kajian Metode Segmentasi Untuk Identifikasi Tutupan Lahan Dan Luas Bidang Tanah Menggunakan Citra Pada Google Earth (Studi Kasus : Kecamatan Tembalang, Semarang). *Jurnal Geodesi Undip*. 4(4):43–51.
- Simon, H. (2010). Perencanaan Pembangunan Sumber Daya Hutan Jilid 1A. Pustaka Pelajar. Yogyakarta .
- Solihin, M., Putri, A. N., Setiawan, A., Siliwangi, D., & Arifin, M. (2020). Karakteristik indeks vegetasi pada berbagai penggunaan lahan di hulu subDAS Cikapundung melalui interpretasi citra satelit Landsat 8. *Jurnal Kultivasi*, 19(3), 1202–1209. <https://doi.org/10.24198/kultivasi.v19i3.28625>
- Somantri L. 2008. Pemanfaatan Teknik Penginderaan Jauh untuk Mengidentifikasi Kerentanan dan Risiko Banjir. *Jurnal Geografi Gea*. 8(2).
- Sophian, D. H. (2016). Keefektifan Penerimaan Sektor Kehutanan Produksi Getah Pinus Dalam Meningkatkan Pendapatan Asli Daerah Kabupaten Gowa. Skripsi. Fakultas Ilmu Sosial, Universitas Negeri Makassar. (Tidak Dipublikasikan).
- Sudiana, D. dan E. Diasmara. 2008. Analisis Indeks Vegetasi Menggunakan Data Satelit NOAA/AVHRR Dan Terra/Aqua-Modis. Seminar on Intelligent Technology and Its Application. 423–428.
- Sugiyono. 2008. Metode Penelitian Kuantitatif Kualitatif dan R&D. Bandung: Alfabeta
- Suhadha A dan Ibrahim A. 2019. Satelit Multimisi Sentinel-3 dan Pemanfaatannya dalam Pemantauan Sumberdaya Pesisir dan Laut. *Inderaja*. 10(12): 41-49.

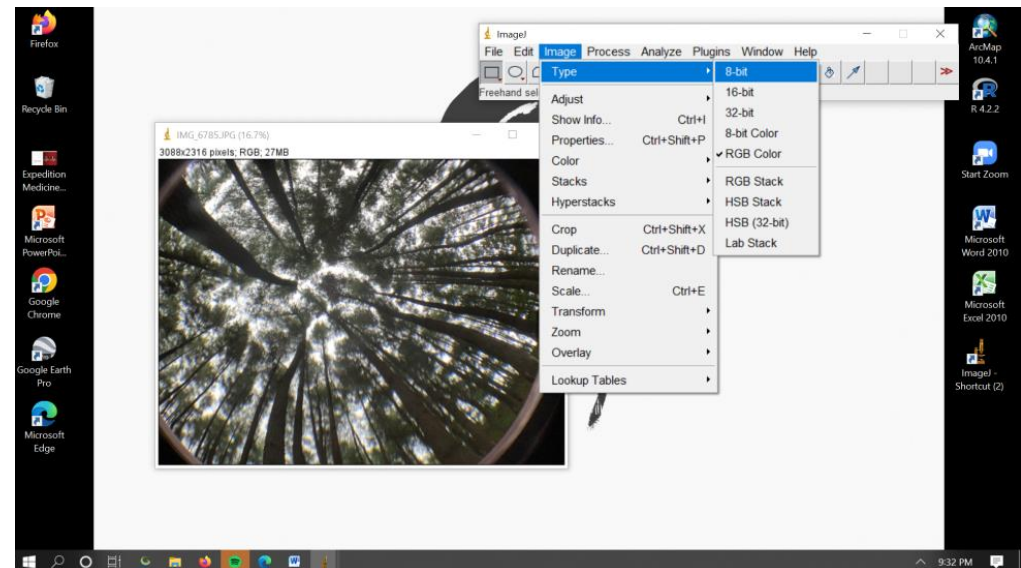
- Suhardi, M.S.M. Sosef, P.B. Laming; and J. Ilic. 1994. Pinus Merkusi L. Dalam I. Soerianegara and RH.M.J. Lemmens (Editor). Plant Resources of South East Asia No. 5(1). Timber trees: Major commercial timbers. PROSEA Bogor, Indonesia.
- Sukristiyanti, S., & Marganingrum, D. (2008). Pendekatan Kerapatan Vegetasidan Suhu Permukaan Menggunakan Citra Landsat Studi Kasus : Jawa BaratBagian Selatan dan Sekitarnya. Jurnal RISET Geologi Dan Pertambangan,19(1), 15–24
- Suwaji, S., Lamusa, A., & Howara, D. (2017). Analisis Pendapatan Petani Penyadap Getah Pinus Di Desa Tangkulowi Kecamatan Kulawi Kabupaten Sigi Sulawesi Tengah. E-J. Agrotekbis, 5(1), 127–133.
- Tajuddin, T., & Suryanto, D. A. 2022. Sebaran Potensi Hutan Pinus Merkusi Dan Perannya Terhadap Perbaikan Kondisi Hutan Di Provinsi Sulawesi Selatan. *Wahana Forestra: Jurnal Kehutanan*, 17(1), 1-12.
- Tajuddin. 2021. Pemanfaatan Getah P.merkusi dan Perannya Terhadap Penghidupan Masyarakat di Provinsi Sulawesi Selatan. ULIN: Jurnal Hutan Tropis, 5(1), 9. <https://doi.org/10.32522/ujht.v5i1.4151>.
- UPT KPH Bulusaraung, 2019. Rencana Pengelolaan Hutan jangka Panjang (RPHJP) KPHP UNIT I pada UPT KPH Bulusarung Periode 2019-2028. Kabupaten Maros, Sulawesi Selatan.
- Utomo, B., Dalimunthe, A., & Hutagalung, F. (2015). Public Perception on the Success of Reforestation in a Degraded Land. Journal of Agricultural Science and Technology, 5, 422– 428. <https://doi.org/10.17265/2161-6264/2015.06.007>.
- Waas HJD, Nababan B. 2010. Pemetaan dan analisis index vegetasi mangrove di Pulau Saparua, Maluku Tengah. E-Jurnal Ilmu dan Teknologi Kelautan Tropis. 2(1): 50-58.
- Wu, C. D., Chen, Y. C., Pan, W. C., Zeng, Y. T., Chen, M. J., Guo, Y. L., & Lung, S. C. C.(2017). Land-use regression with long-term satellite-based greenness index and culture-specific sources to model PM2. 5 spatial-temporal variability. Environmental Pollution,224, 148-157.

# **LAMPIRAN**

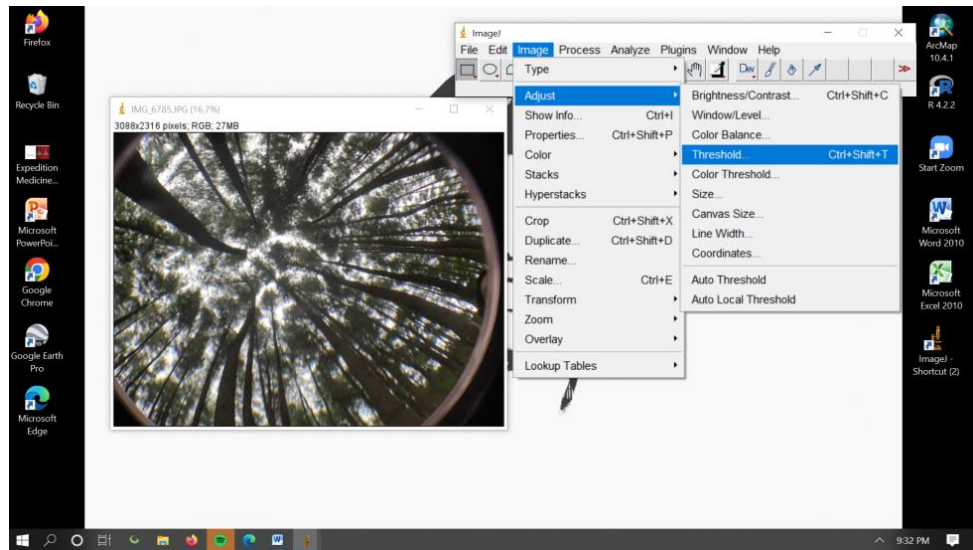
## Lampiran 1. Pengolahan data lapangan kerapatan tajuk menggunakan *imageJ*



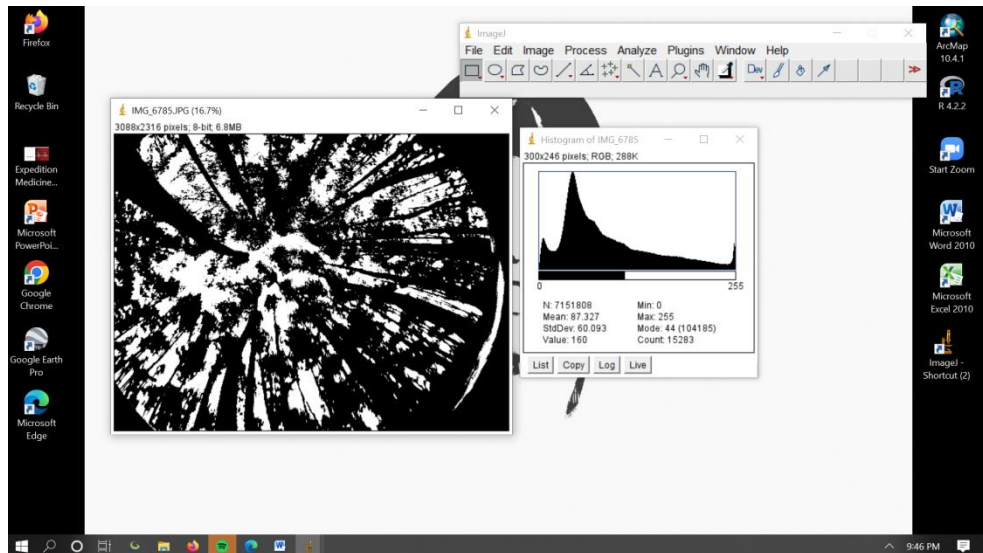
Gambar 1. Klik [File] >> [Open] >> “Klik Foto Hemisphere yang akan dianalisis” >> [Open]



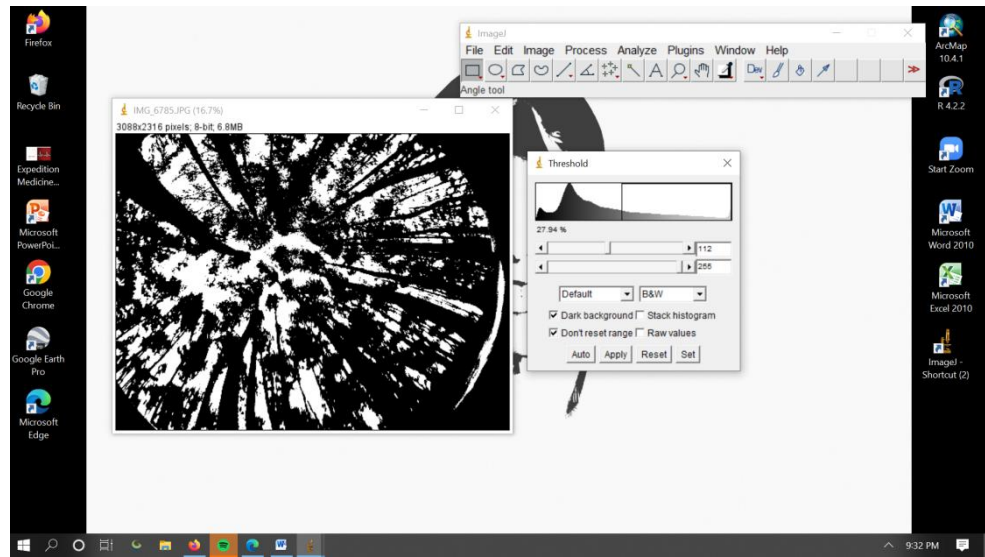
Gambar 2. Mengubah foto dengan komposisi warna RGB (kiri), menjadi 8-bit warna (kanan) dengan tiga langkah yang mudah, yaitu: [Image] >> [Type] >> [8-bit]



Gambar 3. Tahap awal dalam pemisahan objek kanopi dengan langit dengan [Image] >> [Adjust] >> [Threshold] (kiri) dan hasilnya akan muncul layer Threshold (kanan). Kotak berwarna orange berisi scroll yang dapat digeser ke kiri dan ke kanan untuk menyesuaikan identifikasi kanopi dan langit



Gambar 4. Klik [Analyze] >> [Histogram] untuk memunculkan layar Histogram (kanan)



Gambar 5. Klik [List] pada Layar Histogram untuk memunculkan jumlah piksel yang bernilai 0 (sebagai langit) dan 255 (kanopi). "Count: " pada histogram menggambarkan jumlah seluruh piksel dari foto yang sedang dianalisis. "Mode: " menggambarkan kelas piksel yang dominan dari foto yang sedang dianalisis dan jumlahnya dalam kurung

**Lampiran 2. Foto Hemisphere Photografi Kerapatan Pinus**

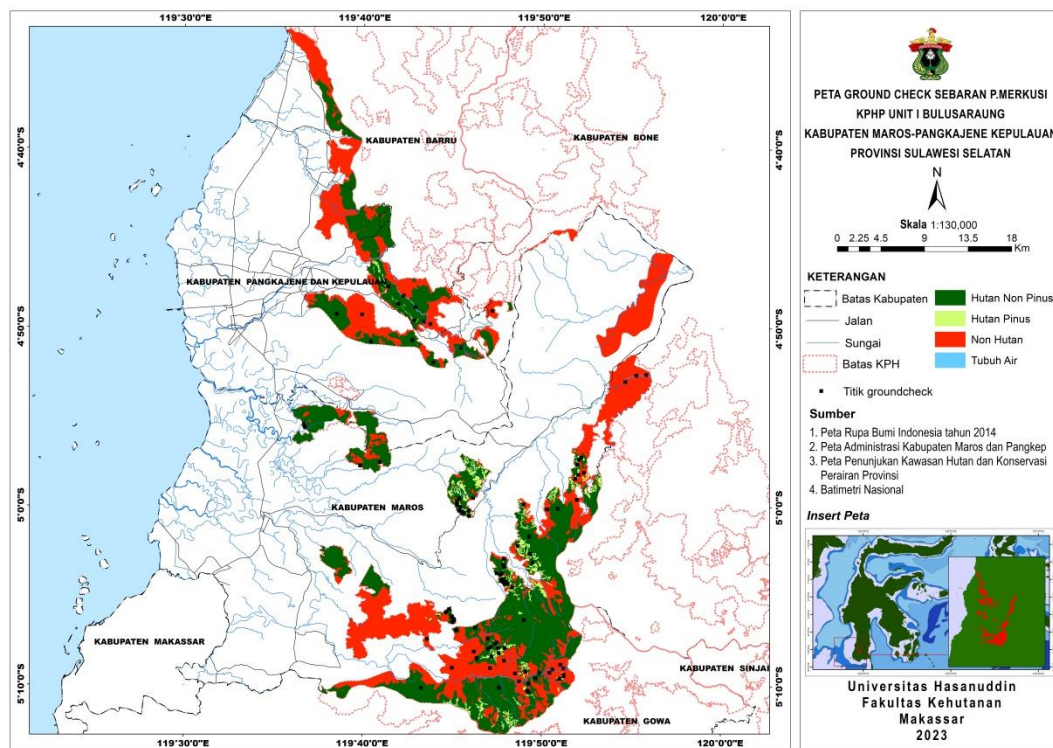
Kelas Kerapatan	Dokumentasi
Sedang	
Lebat	
Sangat Lebat	

**Lampiran 3. Hasil Foto Ground Check Penutupan Lahan**

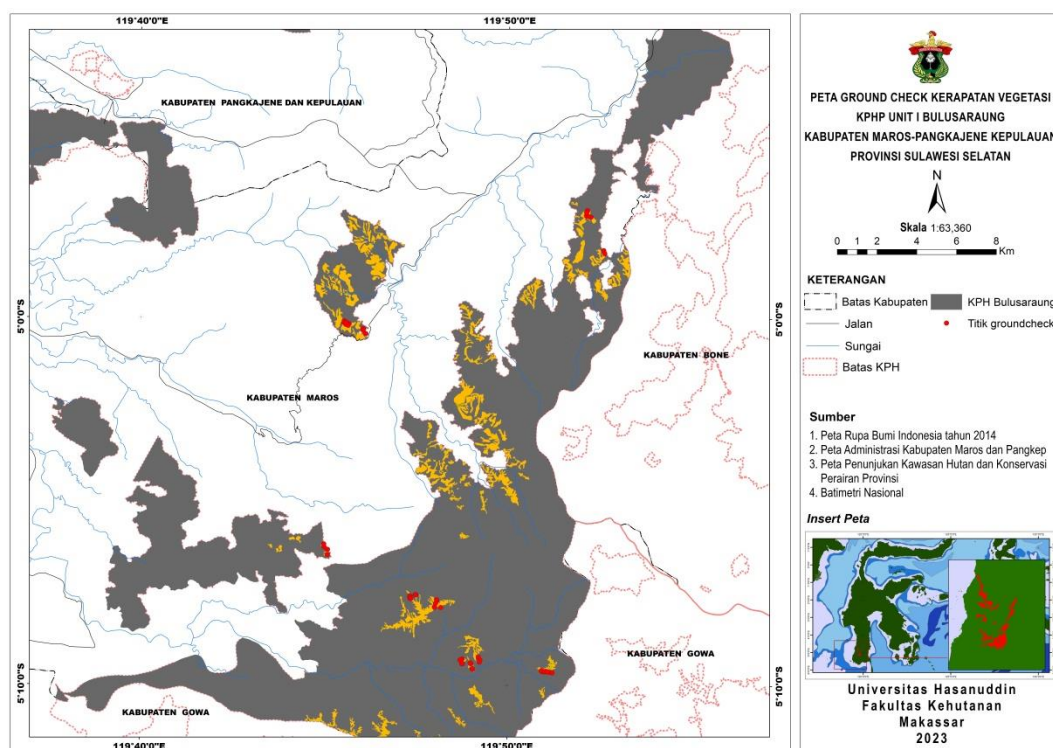
Tutupan Lahan	Kondisi Pada Citra	Dokumentasi
Hutan Pinus	Sangat Lebat	 <div style="position: absolute; top: 10px; right: 10px;">           12 Dec 2022 09:15:37            33° N            Altitude: 167.9meter            Speed:1.05m/h         </div>
	Lebat	 <div style="position: absolute; bottom: 10px; left: 10px;">           GPS Map Camera         </div>
	Sedang	 <div style="position: absolute; top: 10px; right: 10px;">           13 Dec 2022 09:22:47            31° NW            Altitude:749.2meter            Speed:0.2km/h         </div>
Hutan Non Pinus		
Non Hutan		

Tutupan Lahan	Kondisi Pada Citra	Dokumentasi
Tubuh Air		

**Lampiran 4.** Peta Penyebaran Titik *Ground Check* KPH Bulusaraung

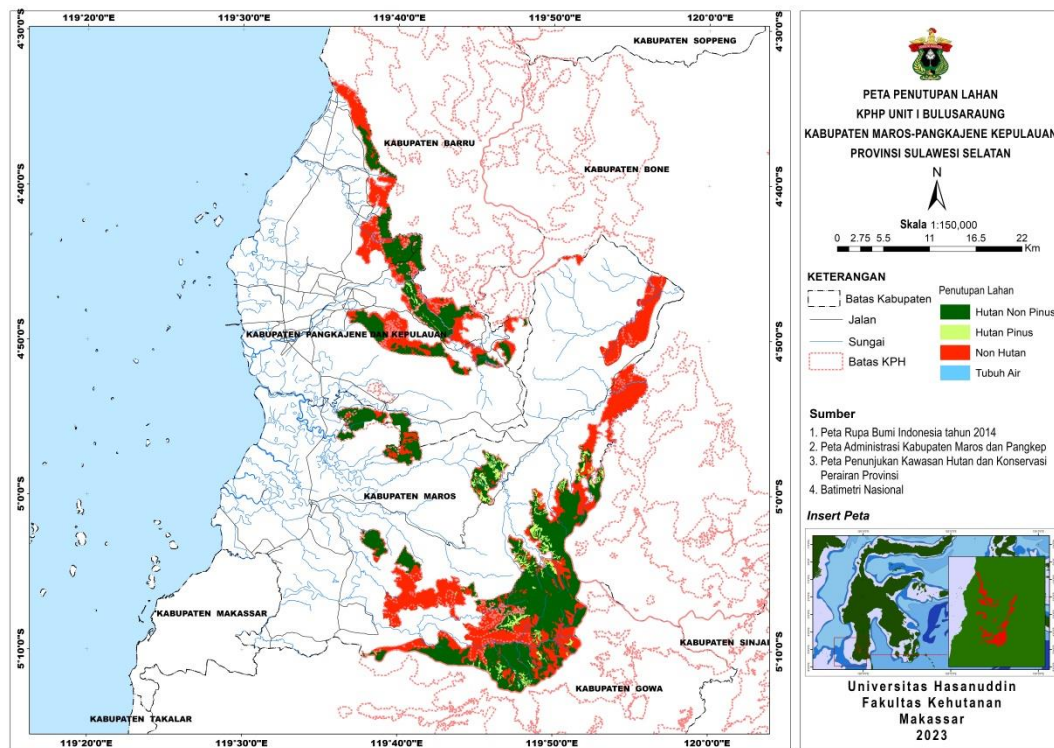


Peta Hasil Titik *Ground Check* Penutupan Lahan KPH Bulusaraung



Peta Hasil Titik *Ground Check* Kerapatan Vegetasi KPH Bulusaraung

## Lampiran 5. Peta Hasil *Digitasi On Screen*



Peta hasil Digitasi *On Screen*

**Lampiran 6.** Tabel hasil *groundcheck*

No	Koordinat		<i>Digitasi on screen</i>	<i>Groundcheck</i>
	x	y		
1	119° 52' 10.221" E	4° 57' 13.899" S	Pinus	Pinus
2	119° 52' 2.244" E	4° 57' 21.393" S	Pinus	Pinus
3	119° 51' 57.167" E	4° 57' 38.053" S	Pinus	Pinus
4	119° 52' 0.176" E	4° 58' 12.465" S	Pinus	Pinus
5	119° 51' 51.080" E	4° 58' 25.701" S	Pinus	Pinus
6	119° 45' 25.872" E	5° 0' 1.449" S	Pinus	Pinus
7	119° 45' 21.917" E	5° 0' 13.516" S	Pinus	Pinus
8	119° 45' 31.656" E	5° 0' 16.344" S	Pinus	Pinus
9	119° 45' 37.966" E	5° 0' 20.334" S	Pinus	Pinus
10	119° 45' 53.958" E	5° 0' 13.381" S	Pinus	Hutan Non Pinus
11	119° 45' 55.749" E	5° 0' 31.161" S	Pinus	Pinus
12	119° 48' 57.958" E	4° 59' 52.258" S	Pinus	Pinus
13	119° 42' 49.206" E	4° 49' 35.292" S	Pinus	Pinus
14	119° 41' 55.620" E	4° 48' 40.856" S	Pinus	Pinus
15	119° 41' 22.028" E	4° 47' 42.716" S	Pinus	Hutan Non Pinus
16	119° 48' 20.461" E	5° 4' 30.497" S	Pinus	Pinus
17	119° 48' 5.534" E	5° 4' 19.086" S	Pinus	Pinus
18	119° 47' 58.634" E	5° 4' 11.370" S	Pinus	Pinus
19	119° 47' 49.728" E	5° 4' 2.802" S	Pinus	Pinus
20	119° 47' 45.069" E	5° 3' 43.887" S	Pinus	Pinus
21	119° 47' 28.472" E	5° 3' 43.098" S	Pinus	Pinus
22	119° 47' 52.584" E	5° 2' 55.083" S	Pinus	Pinus
23	119° 47' 50.667" E	5° 3' 14.887" S	Pinus	Pinus
24	119° 47' 9.802" E	5° 7' 51.514" S	Pinus	Pinus
25	119° 47' 24.060" E	5° 7' 40.263" S	Pinus	Pinus
26	119° 47' 30.622" E	5° 7' 35.931" S	Pinus	Pinus
27	119° 47' 34.702" E	5° 7' 53.126" S	Pinus	Pinus
28	119° 47' 56.167" E	5° 7' 54.180" S	Pinus	Pinus
29	119° 47' 36.784" E	5° 8' 11.191" S	Pinus	Pinus
30	119° 49' 6.615" E	5° 9' 12.763" S	Pinus	Pinus
31	119° 51' 14.619" E	5° 9' 23.065" S	Pinus	Pinus
32	119° 51' 14.640" E	5° 9' 27.655" S	Pinus	Pinus
33	119° 51' 0.348" E	5° 9' 36.218" S	Pinus	Pinus
34	119° 49' 12.308" E	5° 10' 16.778" S	Pinus	Hutan Non Pinus
35	119° 49' 16.454" E	5° 10' 22.497" S	Pinus	Pinus
36	119° 47' 12.381" E	5° 8' 22.093" S	Pinus	Pinus
37	119° 45' 15.475" E	4° 59' 54.579" S	Pinus	Pinus
38	119° 44' 58.697" E	5° 6' 8.271" S	Pinus	Non Hutan

No	Koordinat		<i>Digitasi on screen</i>	<i>Groundcheck</i>
	x	y		
39	119° 45' 0.252" E	5° 6' 10.674" S	Pinus	Non Hutan
40	119° 45' 5.604" E	5° 6' 17.623" S	Pinus	Pinus
41	119° 45' 7.083" E	5° 6' 22.264" S	Pinus	Pinus
42	119° 45' 1.270" E	5° 6' 27.970" S	Pinus	Pinus
43	119° 48' 39.706" E	5° 2' 11.865" S	Pinus	Pinus
44	119° 49' 28.006" E	5° 3' 6.737" S	Pinus	Pinus
45	119° 49' 20.731" E	5° 2' 38.367" S	Pinus	Pinus
46	119° 47' 53.932" E	5° 3' 23.039" S	Pinus	Pinus
47	119° 47' 56.083" E	5° 4' 18.761" S	Pinus	Pinus
48	119° 47' 50.102" E	5° 4' 11.672" S	Pinus	Pinus
49	119° 47' 42.184" E	5° 4' 6.771" S	Pinus	Pinus
50	119° 47' 40.157" E	5° 3' 47.731" S	Pinus	Pinus
51	119° 44' 38.979" E	5° 5' 54.170" S	Hutan Non Pinus	Non Hutan
52	119° 44' 50.382" E	5° 5' 44.367" S	Hutan Non Pinus	Non Hutan
53	119° 46' 22.462" E	5° 8' 28.219" S	Hutan Non Pinus	Hutan Non Pinus
54	119° 47' 1.850" E	5° 7' 57.146" S	Hutan Non Pinus	Hutan Non Pinus
55	119° 46' 59.526" E	5° 7' 22.982" S	Hutan Non Pinus	Hutan Non Pinus
56	119° 46' 16.943" E	5° 6' 45.721" S	Hutan Non Pinus	Hutan Non Pinus
57	119° 45' 14.254" E	5° 6' 54.716" S	Hutan Non Pinus	Hutan Non Pinus
58	119° 49' 17.336" E	5° 9' 53.114" S	Hutan Non Pinus	Hutan Non Pinus
59	119° 49' 40.148" E	5° 9' 35.226" S	Hutan Non Pinus	Hutan Non Pinus
60	119° 43' 16.276" E	5° 10' 8.463" S	Hutan Non Pinus	Hutan Non Pinus
61	119° 47' 37.818" E	5° 10' 6.752" S	Hutan Non Pinus	Hutan Non Pinus
62	119° 49' 0.373" E	5° 6' 19.173" S	Hutan Non Pinus	Hutan Non pinus
63	119° 50' 52.613" E	5° 0' 5.735" S	Hutan Non Pinus	Hutan Non Pinus
64	119° 49' 16.901" E	5° 1' 40.248" S	Hutan Non Pinus	Hutan Non Pinus
65	119° 45' 22.917" E	4° 59' 32.488" S	Hutan Non Pinus	Hutan Non Pinus
66	119° 38' 29.655" E	4° 49' 14.652" S	Hutan Non Pinus	Hutan Non Pinus
67	119° 40' 24.430" E	4° 50' 47.165" S	Hutan Non Pinus	Hutan Non Pinus
68	119° 42' 42.850" E	4° 50' 42.023" S	Hutan Non Pinus	Hutan Non Pinus
69	119° 43' 52.944" E	4° 51' 57.484" S	Hutan Non Pinus	Hutan Non pinus
70	119° 45' 26.554" E	4° 51' 6.608" S	Hutan Non Pinus	Hutan Non Pinus
71	119° 51' 2.951" E	5° 8' 49.242" S	Non Hutan	Hutan Non Pinus
72	119° 50' 26.447" E	5° 9' 16.487" S	Non Hutan	Hutan Non Pinus
73	119° 48' 31.548" E	5° 9' 19.293" S	Non Hutan	Non Hutan
74	119° 47' 54.276" E	5° 8' 36.309" S	Non Hutan	Non Hutan
75	119° 47' 7.689" E	5° 9' 1.760" S	Non Hutan	Non Hutan
76	119° 44' 59.491" E	5° 9' 0.940" S	Non Hutan	Non Hutan
77	119° 46' 13.425" E	5° 8' 6.453" S	Non Hutan	Non Hutan

No	Koordinat		<i>Digitasi on screen</i>	<i>Groundcheck</i>
	x	y		
78	119° 43' 36.210" E	5° 7' 24.439" S	Non Hutan	Non Hutan
79	119° 50' 16.652" E	5° 0' 8.584" S	Non Hutan	Non Hutan
80	119° 51' 56.061" E	4° 59' 36.308" S	Non Hutan	Non Hutan
81	119° 52' 18.835" E	4° 58' 4.982" S	Non Hutan	Non Hutan
82	119° 45' 14.441" E	4° 59' 44.824" S	Non Hutan	Non Hutan
83	119° 46' 8.382" E	4° 59' 31.328" S	Non Hutan	Non Hutan
84	119° 39' 49.733" E	4° 57' 43.364" S	Non Hutan	Non Hutan
85	119° 40' 55.847" E	4° 57' 32.337" S	Non Hutan	Non Hutan
86	119° 36' 41.034" E	4° 55' 23.976" S	Non Hutan	Non Hutan
87	119° 36' 44.857" E	4° 55' 36.013" S	Non Hutan	Non Hutan
88	119° 39' 54.395" E	4° 49' 16.781" S	Non Hutan	Non Hutan
89	119° 43' 43.337" E	4° 49' 48.006" S	Non Hutan	Non Hutan
90	119° 47' 10.227" E	4° 49' 3.556" S	Non Hutan	Non Hutan
91	119° 42' 13.458" E	4° 48' 13.123" S	Tubuh Air	Tubuh Air
92	119° 42' 53.254" E	4° 48' 52.214" S	Tubuh Air	Tubuh Air
93	119° 43' 21.247" E	4° 49' 40.682" S	Tubuh Air	Tubuh Air
94	119° 54' 36.618" E	4° 53' 0.045" S	Tubuh Air	Tubuh Air
95	119° 55' 13.592" E	4° 52' 38.955" S	Tubuh Air	Tubuh Air
96	119° 55' 46.280" E	4° 52' 36.334" S	Tubuh Air	Tubuh Air
97	119° 51' 13.478" E	5° 9' 1.574" S	Tubuh Air	Tubuh Air
98	119° 50' 37.012" E	5° 9' 4.893" S	Tubuh Air	Tubuh Air
99	119° 49' 52.578" E	5° 9' 18.288" S	Tubuh Air	Tubuh Air
100	119° 48' 45.169" E	5° 9' 45.554" S	Tubuh Air	Tubuh Air

**Lampiran 7.** Kerapatan berdasarkan nilai NDVI dan kerapatan berdasarkan di lapangan

No	Kelas	Perubahan Kelas	X	Y	Nilai NDVI	Nilai Canopy
1	jarang	Sedang	119° 47' 29.755" E	5° 7' 32.728" S	0.15	0.29
2	jarang	Sedang	119° 45' 34.627" E	5° 0' 7.586" S	0.18	0.30
3	jarang	Sedang	119° 46' 6.509" E	5° 0' 25.957" S	0.18	0.32
4	jarang	Sedang	119° 46' 5.861" E	5° 0' 25.344" S	0.19	0.30
5	jarang	Sedang	119° 46' 2.610" E	5° 0' 20.202" S	0.15	0.31
6	Sedang	Sedang	119° 52' 8.026" E	4° 57' 3.278" S	0.21	0.32
7	Sedang	Sedang	119° 52' 6.542" E	4° 57' 6.818" S	0.28	0.29
8	Sedang	Sedang	119° 46' 2.642" E	5° 0' 17.868" S	0.23	0.30
9	Sedang	Lebat	119° 47' 29.221" E	5° 7' 33.024" S	0.26	0.31
10	Sedang	Sedang	119° 48' 1.264" E	5° 7' 52.885" S	0.23	0.30
11	Sedang	Lebat	119° 47' 20.373" E	5° 7' 35.332" S	0.29	0.36
12	Sedang	Sangat Lebat	119° 47' 20.802" E	5° 7' 37.979" S	0.23	0.55
13	Sedang	Sangat Lebat	119° 49' 3.435" E	5° 9' 33.649" S	0.27	0.47
14	Sedang	Sangat Lebat	119° 46' 1.986" E	5° 0' 17.927" S	0.28	0.53
15	Sedang	Sedang	119° 46' 6.235" E	5° 0' 25.594" S	0.21	0.3
16	Lebat	Sangat Lebat	119° 51' 10.888" E	5° 9' 38.560" S	0.37	0.5
17	Lebat	Sangat Lebat	119° 51' 13.484" E	5° 9' 39.236" S	0.33	0.52
18	Lebat	Sangat Lebat	119° 45' 31.402" E	5° 0' 5.116" S	0.39	0.41
19	Lebat	Sedang	119° 47' 30.204" E	5° 7' 32.421" S	0.31	0.29
20	Lebat	Sangat Lebat	119° 45' 35.018" E	5° 0' 7.235" S	0.31	0.53
21	Lebat	Sangat Lebat	119° 46' 6.997" E	5° 0' 26.055" S	0.36	0.48
22	Lebat	Sangat Lebat	119° 48' 0.716" E	5° 7' 52.496" S	0.38	0.42
23	Lebat	Sangat Lebat	119° 48' 11.067" E	5° 7' 53.042" S	0.39	0.49
24	Lebat	Lebat	119° 47' 20.725" E	5° 7' 34.407" S	0.33	0.37
25	Lebat	Sangat Lebat	119° 47' 22.044" E	5° 7' 38.742" S	0.36	0.54
26	Lebat	Sangat Lebat	119° 48' 2.603" E	5° 7' 46.579" S	0.35	0.41
27	Lebat	Sangat Lebat	119° 49' 2.750" E	5° 9' 33.289" S	0.34	0.48
28	Lebat	Sangat Lebat	119° 49' 0.662" E	5° 9' 24.920" S	0.38	0.55
29	Lebat	Sangat Lebat	119° 48' 59.817" E	5° 9' 23.417" S	0.37	0.47
30	Lebat	Sangat Lebat	119° 49' 14.562" E	5° 9' 22.132" S	0.34	0.53
31	Lebat	Sangat Lebat	119° 50' 55.604" E	5° 9' 36.056" S	0.39	0.49
32	Lebat	Sangat Lebat	119° 51' 1.892" E	5° 9' 36.930" S	0.35	0.53
33	Lebat	Sangat Lebat	119° 51' 7.580" E	5° 9' 37.992" S	0.38	0.54
34	Lebat	Sangat Lebat	119° 51' 5.079" E	5° 9' 37.615" S	0.35	0.48
35	Lebat	Sangat Lebat	119° 44' 59.788" E	5° 6' 9.873" S	0.38	0.55
36	Sangat Lebat	Sangat Lebat	119° 48' 46.526" E	5° 9' 16.963" S	0.52	0.54
37	Sangat Lebat	Sangat Lebat	119° 48' 46.812" E	5° 9' 24.672" S	0.53	0.52
38	Sangat Lebat	Sangat Lebat	119° 50' 56.931" E	5° 9' 36.992" S	0.47	0.48
39	Sangat Lebat	Sangat Lebat	119° 50' 58.651" E	5° 9' 37.606" S	0.49	0.54
40	Sangat Lebat	Sangat Lebat	119° 51' 1.180" E	5° 9' 37.593" S	0.47	0.51
41	Sangat Lebat	Sangat Lebat	119° 51' 4.332" E	5° 9' 37.387" S	0.43	0.42
42	Sangat Lebat	Sangat Lebat	119° 45' 5.914" E	5° 6' 18.753" S	0.48	0.66

No	Kelas	Perubahan Kelas	X	Y	Nilai NDVI	Nilai Canopy
43	Sangat Lebat	Sangat Lebat	119° 45' 5.343" E	5° 6' 27.105" S	0.48	0.69
44	Sangat Lebat	Sangat Lebat	119° 45' 35.142" E	5° 0' 8.029" S	0.5	0.66
45	Sangat Lebat	Sangat Lebat	119° 45' 39.682" E	5° 0' 9.970" S	0.47	0.64
46	Sangat Lebat	Sangat Lebat	119° 52' 34.786" E	4° 58' 8.703" S	0.51	0.71
47	Sangat Lebat	Sangat Lebat	119° 52' 6.024" E	4° 57' 11.944" S	0.4	0.67
48	Sangat Lebat	Sangat Lebat	119° 49' 12.804" E	5° 9' 13.905" S	0.46	0.76
49	Sangat Lebat	Sangat Lebat	119° 45' 0.239" E	5° 6' 15.053" S	0.42	0.63
50	Sangat Lebat	Sangat Lebat	119° 48' 4.544" E	5° 7' 42.559" S	0.45	0.55
51	Sangat Lebat	Sangat Lebat	119° 48' 4.330" E	5° 7' 40.603" S	0.54	0.69
52	Sangat Lebat	Sangat Lebat	119° 48' 42.987" E	5° 9' 18.745" S	0.53	0.61
53	Sangat Lebat	Sangat Lebat	119° 48' 45.819" E	5° 9' 24.821" S	0.48	0.64
54	Sangat Lebat	Sangat Lebat	119° 49' 15.401" E	5° 9' 18.996" S	0.56	0.68
55	Sangat Lebat	Sangat Lebat	119° 45' 31.172" E	5° 0' 7.773" S	0.53	0.58
56	Sangat Lebat	Sangat Lebat	119° 45' 34.085" E	5° 0' 10.800" S	0.55	0.71
57	Sangat Lebat	Sangat Lebat	119° 45' 38.082" E	5° 0' 12.456" S	0.5	0.66
58	Sangat Lebat	Sangat Lebat	119° 52' 13.745" E	4° 57' 14.100" S	0.55	0.64
59	Sangat Lebat	Sangat Lebat	119° 52' 10.044" E	4° 57' 13.141" S	0.54	0.62
60	Sangat Lebat	Sangat Lebat	119° 52' 36.496" E	4° 58' 13.720" S	0.57	0.73

**Lampiran 8.** Hasil Analisis Imagej Kerapatan Pinus

Kelas Kerapatan	Plot	No Foto	COUNT	Pixel Canopy	Coverage (%)	Rata-Rata	Standar Deviasi
Jarang	1	1	786,432	2,170	0,28	0,29	0,06
		2	786,432	2,001	0,25		
		3	786,432	2,028	0,26		
		4	786,432	3,077	0,39		
	2	1	786,432	2,156	0,27	0,30	0,07
		2	786,432	3,212	0,41		
		3	786,432	2,050	0,26		
		4	786,432	2,117	0,27		
	3	1	786,432	2,004	0,25	0,32	0,07
		2	786,432	3,035	0,39		
		3	786,432	3,008	0,38		
		4	786,432	2,100	0,27		
	4	1	786,432	3,001	0,38	0,30	0,06
		2	786,432	2,140	0,27		
		3	786,432	2,270	0,29		
		4	786,432	2,014	0,26		
	5	1	786,432	2,848	0,36	0,31	0,11
		2	786,432	1,191	0,15		
		3	786,432	3,073	0,39		
		4	786,432	2,587	0,33		
Sedang	6	1	786,432	2,848	0,36	0,32	0,13
		2	786,432	1,191	0,15		
		3	786,432	3,573	0,45		
		4	786,432	2,587	0,33		
	7	1	786,432	2,128	0,27	0,29	0,02
		2	786,432	2,254	0,29		
		3	786,432	2,339	0,30		
		4	786,432	2,402	0,31		
	8	1	786,432	2,253	0,29	0,30	0,05
		2	786,432	2,181	0,28		
		3	786,432	2,120	0,27		
		4	786,432	3,009	0,38		
	9	1	786,432	2,557	0,33	0,31	0,02
		2	786,432	2,261	0,29		
		3	786,432	2,414	0,31		
		4	786,432	2,551	0,32		

Kelas Kerapatan	Plot	No Foto	COUNT	Pixel Canopy	Coverage (%)	Rata-Rata	Standar Deviasi
Lebat	10	1	7,151,808	18,854	0,26	0,30	0,06
		2	7,151,808	27,976	0,39		
		3	7,151,808	17,931	0,25		
		4	7,151,808	20,862	0,29		
	11	1	786,432	4,128	0,52	0,55	0,02
		2	786,432	4,418	0,56		
		3	786,432	4,299	0,55		
		4	786,432	4,372	0,56		
	12	1	786,432	3,728	0,47	0,47	0,11
		2	786,432	3,205	0,41		
		3	786,432	3,002	0,38		
		4	786,432	4,939	0,63		
	13	1	786,432	3,720	0,47	0,53	0,04
		2	786,432	4,290	0,55		
		3	786,432	4,485	0,57		
		4	786,432	4,043	0,51		
	14	1	786,432	2,065	0,26	0,30	0,06
		2	786,432	2,066	0,26		
		3	786,432	2,232	0,28		
		4	786,432	3,008	0,38		
	15	1	786,432	4,142	0,53	0,50	0,07
		2	786,432	4,051	0,52		
		3	786,432	4,465	0,57		
		4	786,432	3,111	0,40		
	16	1	786,432	3,657	0,47	0,52	0,05
		2	786,432	4,577	0,58		
		3	786,432	4,015	0,51		
		4	786,432	3,952	0,50		
	17	1	786,432	3,033	0,39	0,41	0,02
		2	786,432	3,186	0,41		
		3	786,432	3,326	0,42		
		4	786,432	3,299	0,42		
	18	1	786,432	2,005	0,25	0,29	0,07
		2	786,432	2,008	0,26		
		3	786,432	2,143	0,27		
		4	786,432	3,076	0,39		
	19	1	786,432	4,102	0,52	0,53	0,02
		2	786,432	4,330	0,55		
		3	786,432	4,093	0,52		

Kelas Kerapatan	Plot	No Foto	COUNT	Pixel Canopy	Coverage (%)	Rata-Rata	Standar Deviasi
		4	786,432	4,004	0,51		
20	20	1	786,432	3,981	0,51	0,48	0,10
		2	786,432	4,818	0,61		
		3	786,432	3,259	0,41		
		4	786,432	3,027	0,38		
21	21	1	786,432	2,919	0,37	0,42	0,05
		2	786,432	3,142	0,40		
		3	786,432	3,721	0,47		
		4	786,432	3,559	0,45		
22	22	1	786,432	3,802	0,48	0,49	0,04
		2	786,432	3,516	0,45		
		3	786,432	3,972	0,51		
		4	786,432	4,228	0,54		
23	23	1	786,432	3,575	0,45	0,37	0,06
		2	786,432	2,619	0,33		
		3	786,432	2,752	0,35		
		4	786,432	2,722	0,35		
24	24	1	786,432	4,180	0,53	0,54	0,02
		2	786,432	4,068	0,52		
		3	786,432	4,491	0,57		
		4	786,432	4,357	0,55		
25	25	1	786,432	3,182	0,40	0,41	0,01
		2	786,432	3,304	0,42		
		3	786,432	3,272	0,42		
		4	786,432	3,121	0,40		
26	26	1	786,432	2,713	0,34	0,48	0,35
		2	786,432	2,449	0,31		
		3	786,432	2,108	0,27		
		4	786,432	7,961	1,01		
27	27	1	786,432	4,362	0,55	0,55	0,11
		2	786,432	5,590	0,71		
		3	786,432	3,819	0,49		
		4	786,432	3,561	0,45		
28	28	1	786,432	3,979	0,51	0,47	0,12
		2	786,432	3,049	0,39		
		3	786,432	4,956	0,63		
		4	786,432	2,864	0,36		
29	29	1	786,432	4,077	0,52	0,53	0,03
		2	786,432	4,006	0,51		

Kelas Kerapatan	Plot	No Foto	COUNT	Pixel Canopy	Coverage (%)	Rata-Rata	Standar Deviasi
Sangat Lebat	30	3	786,432	4,058	0,52	0,49	0,12
		4	786,432	4,507	0,57		
		1	786,432	4,549	0,58		
		2	786,432	3,004	0,38		
	31	3	786,432	3,081	0,39	0,53	0,05
		4	786,432	4,889	0,62		
		1	786,432	3,941	0,50		
		2	786,432	4,668	0,59		
	32	3	786,432	4,361	0,55	0,54	0,01
		4	786,432	3,709	0,47		
		1	786,432	4,285	0,54		
		2	786,432	4,326	0,55		
	33	3	786,432	4,118	0,52	0,48	0,06
		4	786,432	4,214	0,54		
		1	786,432	3,985	0,51		
		2	786,432	3,826	0,49		
	34	3	786,432	3,118	0,40	0,55	0,06
		4	786,432	4,214	0,54		
		1	786,432	5,012	0,64		
		2	786,432	4,020	0,51		
	35	3	786,432	4,330	0,55	0,54	0,04
		4	786,432	4,049	0,51		
		1	786,432	4,005	0,51		
		2	786,432	4,094	0,52		
	36	3	786,432	4,152	0,53	0,52	0,01
		4	786,432	4,726	0,60		
		1	786,432	4,121	0,52		
		2	786,432	4,093	0,52		
	37	3	786,432	4,053	0,52	0,48	0,12
		4	786,432	4,027	0,51		
		1	786,432	3,013	0,38		
		2	786,432	3,746	0,48		
	38	3	786,432	3,290	0,42	0,54	0,01
		4	786,432	5,118	0,65		
		1	786,432	4,167	0,53		
		2	786,432	4,242	0,54		
	39	3	786,432	4,152	0,53	0,51	0,08
		4	786,432	4,309	0,55		
		1	786,432	4,164	0,53		

Kelas Kerapatan	Plot	No Foto	COUNT	Pixel Canopy	Coverage (%)	Rata-Rata	Standar Deviasi
		2	786,432	4,033	0,51		
40	40	3	786,432	3,187	0,41	0,42	0,01
		4	786,432	4,624	0,59		
		1	7,151,808	30,456	0,43		
		2	7,151,808	29,712	0,42		
	41	3	7,151,808	29,650	0,41	0,30	0,01
		4	7,151,808	28,917	0,40		
		1	7,151,808	20860	0,292		
		2	7,151,808	21705	0,303		
	42	3	7,151,808	22478	0,314	0,66	0,05
		4	7,151,808	22117	0,309		
		1	7,151,808	49653	0,69		
		2	7,151,808	43091	0,60		
	43	3	7,151,808	45015	0,63	0,69	0,05
		4	7,151,808	50866	0,71		
		1	7,151,808	51101	0,71		
		2	7,151,808	50310	0,70		
	44	3	7,151,808	51458	0,72	0,66	0,05
		4	7,151,808	44419	0,62		
		1	7,151,808	40868	0,571		
		2	7,151,808	57569	0,805		
	45	3	7,151,808	48625	0,680	0,64	0,04
		4	7,151,808	41453	0,580		
		1	7,151,808	48493	0,678		
		2	7,151,808	48104	0,673		
	46	3	7,151,808	42515	0,594	0,71	0,08
		4	7,151,808	44609	0,624		
		1	7,151,808	55369	0,774		
		2	7,151,808	44160	0,617		
	47	3	7,151,808	48536	0,679	0,67	0,02
		4	7,151,808	54916	0,768		
		1	7,151,808	49098	0,687		
		2	7,151,808	46243	0,647		
	48	3	7,151,808	49239	0,688	0,76	0,03
		4	7,151,808	47480	0,664		
		1	7,151,808	54961	0,768		
		2	7,151,808	54738	0,765		
		3	7,151,808	56851	0,795		
		4	7,151,808	51061	0,714		

Kelas Kerapatan	Plot	No Foto	COUNT	Pixel Canopy	Coverage (%)	Rata-Rata	Standar Deviasi
	49	1	7,151,808	45467	0,636	0,63	0,03
		2	7,151,808	43557	0,609		
		3	7,151,808	48144	0,673		
		4	7,151,808	44167	0,618		
	50	1	7,151,808	6880	0,096	0,55	0,30
		2	7,151,808	50361	0,704		
		3	7,151,808	50711	0,709		
		4	7,151,808	48963	0,685		
	51	1	786,432	5,174	0,66	0,69	0,09
		2	786,432	4,680	0,60		
		3	786,432	5,345	0,68		
		4	786,432	6,367	0,81		
	52	1	7,151,808	51293	0,717	0,61	0,07
		2	7,151,808	42313	0,592		
		3	7,151,808	40033	0,560		
		4	7,151,808	41259	0,577		
	53	1	7,151,808	42777	0,598	0,64	0,06
		2	7,151,808	40819	0,571		
		3	7,151,808	50517	0,706		
		4	7,151,808	48022	0,671		
	54	1	7,151,808	43665	0,611	0,68	0,06
		2	7,151,808	46994	0,657		
		3	7,151,808	49384	0,691		
		4	7,151,808	53243	0,744		
	55	1	7,151,808	41376	0,579	0,58	0,02
		2	7,151,808	43240	0,605		
		3	7,151,808	42344	0,592		
		4	7,151,808	40150	0,561		
	56	1	7,151,808	50507	0,706	0,71	0,01
		2	7,151,808	51048	0,714		
		3	7,151,808	50666	0,708		
		4	7,151,808	51367	0,718		
	57	1	786,432	4,547	0,58	0,66	0,12
		2	786,432	5,088	0,65		
		3	786,432	4,515	0,57		
		4	786,432	6,492	0,83		
	58	1	786,432	6,010	0,76	0,64	0,09
		2	786,432	4,520	0,57		
		3	786,432	4,736	0,60		

Kelas Kerapatan	Plot	No Foto	COUNT	Pixel Canopy	Coverage (%)	Rata-Rata	Standar Deviasi
		4	786,432	4,726	0,60		
59	59	1	786,432	4,612	0,59	0,62	0,08
		2	786,432	5,794	0,74		
		3	786,432	4,870	0,62		
		4	786,432	4,286	0,54		
	60	1	786,432	6,023	0,77	0,73	0,08
		2	786,432	5,201	0,66		
		3	786,432	5,375	0,68		
		4	786,432	6,479	0,82		